

## دراسة سريرية وشعاعية مقارنة لدقة الانطباق الداخلي لنوتين مختلفين من الدعامات فوق الزرعات السنية

محمد أنس ياسر المدلل<sup>١</sup> \* محمد لؤي مراد<sup>٢</sup> منير حروفش<sup>٣</sup>

<sup>١</sup> طالب دكتوراه -قسم تعويضات الأسنان الثابتة -كلية طب الأسنان -جامعة دمشق.

<sup>٢</sup> أستاذ مساعد في قسم تعويضات الأسنان الثابتة -كلية طب الأسنان -جامعة دمشق.

<sup>٣</sup> أستاذ في قسم جراحة الوجه والفكين-كلية طب الأسنان -جامعة دمشق.

### الملخص:

**خلفية وهدف البحث:** إن استخدام زراعة الأسنان والتعويض عنها باستخدام التيجان هي طريقة علاج راسخة لإعادة التأهيل الوظيفي والجميلي للمرضى الذين يعانون من فقد الأسنان ، حيث أنه غالباً يتم التعويض فوق الزرع باستخدام دعامات جاهزة مصنعة مسبقاً من قبل الشركة المنتجة للزرعات ولكن بسبب المشاكل التي تواجه طبيب الأسنان عند التعويض عن الزرعات باستخدام هذه الدعامات من حدوث عدم انطباق داخلي للدعاةة ضمن الزرعة وعدم حدوث استقرار للتعويض فوق الزرعة وبالتالي خطر حدوث فشل تالي للتعويض وبالتالي فشل منظومة الزرع بأكملها تم اللجوء إلى أنواع أخرى من طرق تصميم الدعامات، فهناك الدعامات القابلة للصب بالإضافة إلى الدعامات المصممة حاسوبياً والمصنوعة باستخدام الطابعة الليزرية ثلاثة الأبعاد.

ومن هنا جاءت فكرة البحث للمقارنة بين النواحي التعويضية للدعامات القابلة للصب والدعامات المطبوعة بواسطة الطابعة الليزرية ثلاثة الأبعاد من حيث دقة الانطباق الداخلي للدعاةة ضمن الزرعة وذلك بعد الصاق التعويض الدائم مع فترة متابعة سنة.

**مواد وطرق البحث:** تألف عينة البحث من ٣٢ زرعة سنية تمت بنفس المعايير (من حيث النوع والعرض) (١٦) زرعة تم التعويض عنها باستخدام الدعامة القابلة للصب و ١٦ زرعة تم التعويض عنها باستخدام الدعامة المطبوعة بواسطة الطابعة الليزرية ثلاثة الأبعاد تم لدى كل مريض إجراء غرستين متجلرين بحيث أن كل مريض حصل على دعامة قابلة للصب ودعامة مطبوعة وقد تم دراسة الانطباق الداخلي للدعاةة ضمن الزرعة سريرياً عن طريق الرؤية المباشرة وشعاعياً بواسطة الصور الشعاعية المأخوذة بطريقة التواري باستخدام الحاسوب الفوري وقياس المسافات الداخلية بين عنق الدعاةة وعنق الزرعة باستخدام برنامج الفوتوشوب وذلك بفترات مختلفة (عند الالتصاق، ثلاثة أشهر، وستة أشهر، وستة

النتائج: بعد إجراء الدراسة الإحصائية باستخدام اختبار T سيتبيّن أن مقدار المسافة بين عنق الزرعة وعنق الدعاةة من الداخل (GAP1) كانت أكبر في الدعامات المطبوعة (0.10 mm) منها في الدعامات المطبوعة (0.07 mm)، وكذلك الأمر بالنسبة لمقدار الفراغ الداخلي الأعظمي بين الدعاةة والزرعة (GAP2) حيث كان الفراغ أكبر بالنسبة للدعامة المطبوعة (0.22 mm) منها بالنسبة للدعاةة المطبوعة (0.17 mm)، وبالتالي فإنه عند مستوى ثقة ٩٥% كان مستوى الدلالة أصغر بكثير من ٠٠٥ وبالتالي توجد فروق دالة إحصائياً

بين مجموعة الدعامات المصنعة باستخدام طابعة ليزرية ثلاثة الأبعاد ومجموعة الدعامات القابلة للصب في عينة البحث الاستنتاجات: ضمن محدودات هذا البحث واستناداً على النتائج السابقة، وهذا أن الدعامات المصممة باستخدام الحاسوب والمصنوعة باستخدام الطابعة

الليزرية ثلاثة الأبعاد تمت بانطباق داخلي أفضل وأكثر احتمالاً من الدعامات القابلة للصب والمصنوعة بطريقة الصب باستخدام الشعاع الضائع.

**الكلمات المفتاحية:** زرع الأسنان-الدعامات القابلة للصب-الدعامات المطبوعة باستخدام الطابعة الليزرية ثلاثة الأبعاد-الانطباق الداخلي

٢٠٢٢/٤/١٧ تاريخ القبول:

٢٠٢٢/٦/٢٦ تاريخ الإيداع:

حقوق النشر: جامعة دمشق - سوريا، يحتفظ المؤلفون بحقوق النشر بموجب CC BY-NC-SA

ISSN: 2789-7214 (online)

<http://journal.damascusuniversity.edu.sy>



## A comparative clinical and radiological study of the internal fit accuracy of two different types of abutments above the dental implant

**Mohammad Anas Almodalal<sup>1</sup> Luai Morad<sup>2</sup> Munir Harfouche<sup>3</sup>**

<sup>1</sup> PhD student – Department of prosthodontics – Faculty of dentistry – Damascus University.

<sup>2</sup> Assistant Professor- Department of prosthodontics – Faculty of dentistry – Damascus University.

<sup>3</sup> Professor- Department of Oral and Maxillofacial Surgery – Faculty of dentistry – Damascus University.

### Abstract:

**Background and Aim of the study:** The main goal of using dental implants is to restore the cosmetic and functional aspects of missing teeth in a way that ensures the long-term success of the restoration. The restoration is often done over the implant using premanufactured standard abutments, but because of the problems that face the dentist When using these abutments, from The occurrence of an internal misfit of the abutment within the implant and the lack of stability of the compensation above the implant, therefore the risk of post-compensation failure and thus the failure of the entire implant system, Other types of abutment design methods have been used as needed, there are cast-able abutments as well as computer-designed abutments made using a 3D laser printer.

The aim of the research is to compare the prosthetic aspects of the cast-able abutment and the printed abutment in terms of the accuracy of the internal fit of the abutment within the implant after cementing the permanent compensation with a follow-up period of one year.

**Materials and Methods:** The research sample consisted of 32 dental implants with the same specifications (in terms of type, and width) (16 implants were restored using the cast-able abutment and 16 implants were restored using the 3D-printed abutment). Each patient had two adjacent implants so each patient was given a cast-able abutment and a printed abutment. The internal fit has been studied clinically by direct vision and radially by means of radiographs taken in a parallel way using an intraoral sensor and measuring the internal distances between the neck of the abutment and the neck of the implant using (Photoshop), at different following periods (after cementation,3 months,6 months,1 year)

**Result:** After conducting the statistical study using the Student's T-test, it was found that the distance between the implant neck and the inner neck of the abutment (GAP1) was greater in the cast-able abutment(0.10 mm) than in the printed abutments(0.07 mm), and the same was true for the maximum internal space between the abutment and the implant (GAP2), where the void was greater for the cast-able abutment(0.22 mm) than the printed one (0.17 mm), therefore at a confidence level of 95%, the significance level was much smaller than 0.05, and therefore there are statistically significant differences between the group of abutments manufactured using a 3D laser printer and the group of the cast-able abutment in the research sample.

**Conclusion:** Within the limitations of this research and based on the previous results, we found that the computer-designed abutment manufactured using a 3D laser printer had a better and tighter internal fit than the Cast-able abutments manufactured using the lost-wax technique.

**Keywords:** Dental Implants, Cast-Able Abutments, Laser Printed Abutments, Internal Fit.



**المقدمة والمراجعة النظرية:**

إن الهدف من استعمال الزرعات السنية هو التعويض عن الفقد الحاصل على مستوى الأسنان وبالتالي العمل على إعادة الوظيفة الاطباقية والجمالية للمريض (Misch C 2008)، ولتحقق النتائج الأمثل للزرعات السنية على المستويين الوظيفي والجمالي يجب أن تُطبق الزرعات السنية في وضع مثالي من حيث الطول والقطر والميلان مما يزيد من تحمل الزرعة للجهود الاطباقية وتأمين الناحية التجميلية قدر الإمكان (معراوي ٢٠١٢)

هناك العديد من الأمور التي تحدد أداء الزرعة ومن بينها أبعاد منطقة الفقد (Elnayef B,et al. 2017) وشكل الاتصال ما بين الزرعة والدعامة، (Monje A, et al. 2015a) ، الفجوة ما بين الزرعة والدعامة (Suárez-López Del Amo F, et al. 2016a) ، وطول الدعامة (Padial-Molina M ,et al. 2014) وفي السنوات القليلة الماضية تزايد عدد الأبحاث المجرأة على تصاميم الزرعات السنية والدعامات والمواد المصنوعة منها والتقنيات المستخدمة لوضع الزرعات والتعويض عنها. (Quirynen, M., et al,2000)

عادة يتم التعويض فوق الزرع باستخدام دعامات جاهزة مصنعة مسبقاً من قبل الشركة المنتجة للزرعات، ولكن بسبب المشاكل التي تواجه طبيب الأسنان عند التعويض على الزرعات باستخدام هذه الدعامات من حدوث عدم انطباق داخلي للدعامة ضمن الزرعة وعدم حدوث استقرار للتعويض فوق الزرعة وبالتالي خطر حدوث فشل تالي للتعويض (Welander ٢٠٠٨) (M.et al, 2008) ، تم تقديم أنواع أخرى من الدعامات المستخدمة للتعويض فوق الزرعات السنية حسب الحاجة فهناك دعامات تلسكوبية، دعامات قابلة للصب، بالإضافة إلى الدعامات المصممة حاسوبياً والمصنوعة باستخدام الطابعة الليزرية ثلاثية الأبعاد.

كما أن الاتصال الصميمي بين الدعامة والزرعة هو عامل أساسي ومطلوب لنجاح وثبات التعويضات فوق الزرعات طبولة الأمد (Sailer, I., et al.2009). وفي حال وجود خلل في هذا الانطباق فإنه يعتبر كعامل خطورة كبير لأنه قد يسبب بالإضافة إلى المشاكل الميكانيكية المتمثلة بإحداث ضرر بالحلزونات الداخلية للزرعة أو حدوث انحلال في برجي الدعامة، أو حدوث حركة للدعامة (Sumi al-Turki LE, et al.2002) (T.et al,2012) مشاكل بيلوجية بسبب حدوث تسرب للجرايتم وتمركزها في القسم الداخلي من الزرعة والذي بدوره قد يسبب في النهاية التهاب في النسج المحيطة بالزرعة وبالتالي حدوث ألم وترابع في العظم الحفافي وفي أسوأ الحالات حدوث خسارة للاندماج العظمي. (Alqutaibi AY,et al.2018) (Mishra SK,et al.2018) (Liu Y,et al .2017) (al.2017)

الدعامات القابلة للصب تم تقديمها كحل بديل عن الدعامات التقليدية من أجل التخلص من المشاكل الناجمة عن عدم حدوث انطباق داخلي للدعامة ضمن التعويض و ضعف ملائمة التعويض الناجمة عن صغر المساحة المتوفرة له في الدعامة التقليدية، بالإضافة إلى تبسيط التعويض من خلال تعديل شكل الدعامة بما يتلاءم مع المتطلبات الوظيفية للتعويض، ولكن من المشاكل التي تعانيها هذه الدعامة من التشوه الناجم عن عملية الصب والذي من شأنه أن يؤثر على الجزء من الدعامة الذي هو على ارتباط مع الزرعة مما يؤدي إلى اضعاف الانطباق الداخلي وبالتالي الارتباط بين الدعامة والزرعة (Binon PP. et al.2009) (Bondan JL ,et al .2009) (al,1996) وعلى ثبات الترميم النهائي، هذا النقص في الدقة قد يضع المريض في خطر أعلى لفشل الزرعات.( Lewis SG 1991) (Llamas D 1992)

دعامات كروية، مغناطيسية، دعامات المصممة والمخروطة بواسطة (CAD/CAM)، بالإضافة إلى الدعامات المصممة حاسوبياً والمصنوعة بواسطة الليزر باستخدام الطابعة ثلاثية الأبعاد.

#### مواصفات الدعامات:

هناك مجموعة من المواصفات الواجب توافرها في الدعامات ومن أهمها: (علاف ميرزا، الحوري نبيل، مراد محمد لوي، ٢٠١٥)

١-

السماح بابطاء مظهر انبات التاج من اللثة.

٢- تأمين وضع خط الإنهاء في المكان المناسب تجميلياً وإعطاء التعويض التحدب الملائم.

٣- يجب أن تقاوم الدعامة قوى الشد والضغط والدوران وخصوصاً في التعويضات المفردة.

٤- لا بد من تأمين انطباق محكم بين جميع مكونات الزرعة والتعويض، حيث أن إدخال الدعامة في الزرعة والتعويض على الدعامة يجب ألا يخلق أي إجهاد، لأنه قد يسبب انحلال البرغي أو انكساره أو إضعاف الاندماج العظمي.

#### تصنيف الدعامات حسب كيفية صنها:

١. الدعامات الجاهزة: عادة ما تكون من التيتانيوم أو من السيراميك. تتألف من الدعامات عادة من قسمين: الدعامة التي تدخل في سطح الزرعة، وبرغي الدعامة المنفصل، يجب أن تتوضع الدعامة وتسقّر في مكانها قبل وضع البرغي، ويتم ذلك بوجود قسم في نهاية عمق الزرعة يكون مضاداً للدوران يمنع دوران الدعامة على الزرعة. أما الجزء التاجي من الدعامة فيجب أن يؤمن ثباتاً كافياً وشكلاً مقاوماً للتاج المثبت على الدعامة، إن الميزة الرئيسية التي تتمتع بها هذه الدعامة هي انخفاض كلفتها، وإمكانية إجراء التعديلات المطلوبة عليها إما داخل الفم أو خارجه، بحيث إذا كان تموّض الزرعة بشكل جيد سوف يكون التعديل المطلوب بالحد الأدنى، أما في حال

وفي السنوات القليلة الماضية، أصبحت تقنية الطابعة ثلاثية الأبعاد أكثر أهمية في عالم الصناعة، وخاصة تقنية طباعة المعادن باستخدام الصهر الانقائي بالليزر (Ucar Y.2009)، (Quante K.2008).

ان تقنية التصميم الحاسوبي للدعامة وطباعتها سمحت بتأمين انطباق داخلي صميمي وتحفيض إجراءات التصنيع وبالتالي الكفاءة الإجمالية والتخلص من التغيير بالأبعاد الحاصل باستخدام طريقة الصب باستخدام الشمع الضائع

ومع التطور السريع للبرمجيات والتقنيات، تم استخدام تقنية الطابعة ثلاثية الأبعاد لتصنيع تعويضات عالية الجودة بدقة أكبر بالإضافة إلى تسهيل تصميم التعويض من قبل الأطباء، دون خطوات إنتاج وسليمة، مما يوفر الوقت والمال (Wang X. 2016).

#### أجزاء التعويض الثابت المدعوم بالزرعات:

عند تعويض الأسنان المفقودة بتعويض ثابت مدعوم بالزرعات فإننا نجد الأجزاء التالية:

١- جسم الزرعة: وهو الجزء الذي يشبه جذر السن ويكون على تماش مع العظم.

٢- الدعامة: وهو الجزء الذي يدعم وأو يثبت التعويض

٣- برغي الدعامة: وهو البرغي المستخدم لثبيت الدعامة على جسم الزرعة

٤- التعويض: وهو الجزء الصناعي الذي يعوض الشكل والوظيفة والتواهي التجميلية للسن (Nouh H 2019)

#### أنواع الدعامات:

تحتختلف متطلبات أطباء الأسنان التعويضية لذلك حرصت الشركات على وجود عدة أنواع من الدعامات وتعتبر الدعامات الجاهزة المصنعة مسبقاً من قبل الشركة الأكثر طلباً من قبل الأطباء، كما يوجد دعامات تسكوبية، دعامات قابلة للصب،

كان هناك حاجة لأجراء العديد من التعديلات فإن الصعوبات و العائق التي تواجه الطبيب و المخبري تفوق الكلفة المنخفضة لهذا النوع من الدعامات، ومن المشاكل الأخرى هي الشكل الأسطواني الذي يزود ببعض المزايا التي تلعب دور مضاد للدوران ولكن عند الحاجة إلى تقصير الدعامات سوف يتم التخلص من معظم هذه المزايا مما يضطر الطبيب أو المخبري لإضافة مزايا أو أخاديد للدعاة كي تمنع دوران التوسيع النهائي فوق دعامة.

بواسطة ملف CAD. يتم تنفيذ عملية التثبيت المباشر بطريقة فرش المسحوق (IPMD 2012) حيث تعتبر هذه الطريقة الأكثر شيوعاً في الوقت الحالي لأنها الأسرع داخل منطقة غرفة الإنتاج وهنالك نوعان من المنتصات، منصة توزيع المواد المسحوقة ومنصة الإنتاج (البناء). (Dawood A et al 2017) يتم تشكيل المسحوق المعدني بشكل نموذج صلب من خلال ذوبانه باستخدام شعاع الليزر المركز، يتم بناء النموذج بطريقة إضافة طبقة إلى طبقة، بخانة ٢٠ ميكرون للطبقة، ويتم مسح كل منطقة وفق موقعها من المقطع العرضي كما هو مصمم على ال CAD وذلك لبناء التعويض بثبات طبقات المسحوق المتتالية بخانات من ١٥٠-١٥ ميكرون، وتحت هذه العملية إنشاء نماذج هندسية معدقة مباشرة من بيانات CAD ثلاثة الأبعاد وبشكل أوتوماتيكي بدون أية أدوات، وتعد هذه الطريقة رائدة جداً ومتقدمة في هذا المجال، كما إنها محافظة بشكل كبير على المواد الأولية، وتتوفر الوقت والعمل المخبري اللازم لإنجاز التعويض (Van Noore R et al 2012).

ويم إنتاج نماذج بدقة عالية وينقصها دقة وجودة سطح جيدة وخصائص ميكانيكية ممتازة، وأخيراً يتم قص المواد الداعمة من قيعات التعويضات المطبوعة (Svanborg, P et al 2020)

٤- الدعامات القابلة للصب: تتميز هذه الدعامات بأنها قادرة على حل مشاكل وضعيات الزرعات المعقّدة، حيث يوضع نموذج الدعامة على المثال الجيسي ثم يشمع ويكسى ويصب بحيث يتم تعديل الدعامة وميلانها وتغيير محور التوسيع النهائي حسب محور الزرعة. ومن أهم سماتها أنها بحاجة إلى إجراءات عملية إضافية وتكلفة إضافية بالإضافة إلى حساسية هذه التقنية الناجمة عن عملية الصب القالبية.

٢. الدعامات المصممة حاسوبياً والمصنوعة باستخدام الطابعة  
**الليزيرية ثلاثية الأبعاد:** قدمت هذه الدعامات إمكانية الحصول على كل من فوائد الدعامات الجاهزة والمخصصة القابلة للصب دون مساوئهما، كما أن المهارة المطلوبة من المخبري أقل حيث يتم صنع هذه الدعامات باستخدام تقانة CAD/CAM حيث يوضع المثال النهائي في ناسخة وتقراً معلومات عن مكان الزرعة وميلانها إلكترونياً حسب وضعيّة التعويض النهائي، ثم ينتقل التصميم بشكل الكتروني إلى برنامج آخر مخطط للطابعة (shape 3) والذي يدوره بعطي الأمر للطابعة للبدء بعملية التأسيس لشكل الداعمة المطلوبة من الخلطة التي اختارها.

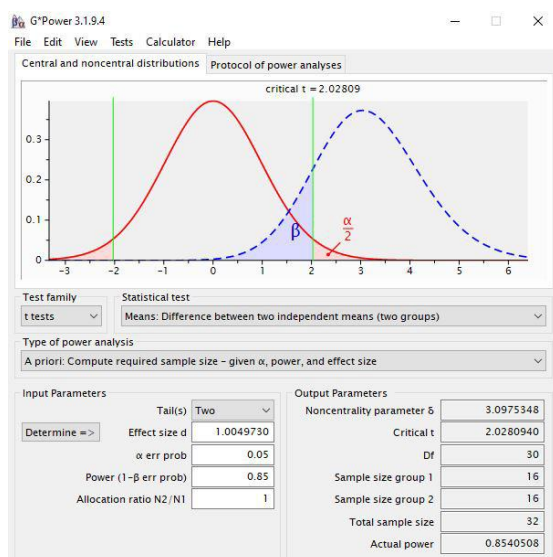
(Priest G 2005)

**مواد وطرق البحث:**

بالاعتماد على الدراسات السابقة وعلى برنامج G Power تألفت عينة البحث من ٣٢ زرعة سنية (١٦ زرعة تم استخدام الدعامات القابلة للصب فوقها ١٦ زرعة تم استخدام الدعامات المصممة حاسوبياً والمصنعة باستخدام الطابعة الليزرية) حيث تم توحيد نوع الزراعات وظروف الزرع (أي عدم وجود امتصاص عظمي أو آفات مكان الزرع) والعمل الجراحي لدى المرضى (أي العمل إما بطريقة جراحية أو باستخدام الدليل الجراحي).

**الهدف من البحث :Aim of study**

إجراء دراسة سريرية وشعاعية لتقدير دقة الانطباق الداخلي للدعاة ضمن الزرعة بين الدعامات القابلة للصب والدعامات المصممة بواسطة الحاسوب والمصنعة باستخدام الطابعة الليزرية ثلاثة الأبعاد وأثرها على الأداء السريري للتعويضات فوق الزرع وتم ذلك خلال فترات زمنية مختلفة (بعد الصاق التعويض النهائي، بعد ٣ أشهر، بعد ٦ أشهر، سنة)



(Linkevicius T 2015)

تضمنت الدراسة ادخال المرضى الذين بحاجة الى زرعتين الطابعة الليزرية) بما يتوافق مع معايير الدخول والاستبعاد متجاوين أو متقابلين خلفيين (تعويض خلفي مفرد) في كل جهة من الفك علوي كان أم سفلي (حصل كل مريض على دعامة قابلة للصب ودعامة مصممة ومصنعة باستخدام

**المرحلة الجراحية الأولى:**

تم وضع زرعتين متباورتين بنفس القياس بالنسبة للطول والعرض ضمن عظم الفك حيث تم ضعهم على مستوى العظم تماماً مع عزء ادخال NCM ٣٥ ثم تم اجراء صورة بانوراما بعد وضع الزرعات للتأكد من وضعيتها ضمن الفك. الشكل (١)



الشكل (١)

**معايير الدخول في الدراسة للمرضى:**

- عمر المريض أكبر من ٢٠ سنة وأصغر من ٥٠.
- صحة فموية جيدة.
- عدم وجود أمراض جهازية.

**معايير الاستبعاد:**

- وجود عادات غير وظيفة كالصرير.
- التهاب الأنسجة الداعمة الحاد أو الجانح.
- وتم ملء الاستبيان المصمم لهذا البحث من قبل الباحث، وذلك قبل البدء بتحضير المريض للزرع وبعد الصاق التعويض الدائم مع فترات متابعة بعد ثلاثة أشهر وستة أشهر وسنة.

**فحص المريض:****تم إجراء ما يلي:**

- ١-أخذ القصبة الطيبة للمريض والأدوية التي يتم تناولها.

- ٢-الفحص داخل الفموي وتتضمن ما يلي:

- تقييم العناية الفموية ومشعر اللوحة ل كامل الأسنان.
- تقييم حالة الأسنان المجاورة لمنطقة الزرع.
- تقييم حالة منطقة الزرع (جذور، خراجات)

**تحضيرات ما قبل العمل الجراحي:**

- تحديد منطقة الزرع.
- الصور الشعاعية وتشمل صور ذرية - بانوراما - CBCT.
- ميلان الأسنان المجاورة وتأثيره على وضع الزرعة.
- وبعد دراسة حالة كل مريض على حدة تم وضع خطة المعالجة وأخذ موافقة المريض عليها.

**المرحلة التعويضية: وتشمل:**

أخذ الطبعة بالنسبة للزرعة بواسطة الناقل (transfer) المناسب وبدائل الزرعة المخبرية (Analog) الشكل (٣)، ثم تم تصنيع الدعامات في المخبر على الشكل التالي:



الشكل (٢)

**المجموعة الثانية (الدعامات المصممة حاسوبياً والمصنوعة****باستخدام الطابعة الليزرية:****طريقة تهيئة وصنع الدعامة:**

بعدأخذ الطبعة باستخدام الناقل وبديل الزرعة المخبرى، تم حقن القناع اللثوي بشكل يماثل وضع اللثة داخل الفم، ثم تم صب الطبعة باستخدام المسحوق الجبى ذو الرابطة الفوسفاتية، ثم قمنا بوضع (scan body) أو (Marker) أو (reader) المناسب لنوع الزرعة على بديل الزرعة المخبرى وتم اجراء مسح رقمي لـ scan body بواسطة الماسح الرقمي، ثم تم تصميم الدعامة تبعاً للشكل التshireي المناسب للسن المراد التعويض عنها بواسطة الـ EXO-CAD، ثم تم إعطاء الأمر للطابعة الليزرية لتقديم بطباعة الدعامة.

**طريقة صنع التعويض فوق الدعامة:**

بعد تصنيع الدعامات سواء باستخدام طريقة الصب باستخدام الشمع الصائى أو الطابعة الليزرية ثلاثية الأبعاد تم اجراء تجربة للدعامة ضمن الفم للتأكد من وضعها الصحيح وتصويرها باستخدام الحساس الفموى ثم تم وضع الدعامة على بديل الزرعة المخبرية وتصويرها باستخدام الماسح الرقمي ثم تم تصميم القعات المعدنية فوقها باستخدام برمج الـ EXO-CAD ثم تم طباعتها باستخدام الطابعة الليزرية ثلاثية الأبعاد ثم سicular إلى بناء الخزف فوقها لإعطاء شكل السن المفقود النهائي.

**ثبيت التعويض النهائي:**

تم ثبيت التاج فوق الدعامة باستخدام الاسمنت الراتنجي ثانى الصصلب ثم تم ثبيت التعويض النهائي بوساطة البرغي (screw retained). الشكل (٤،٥)



(الشكل ٣)

**المجموعة الأولى (الدعامة البلاستيكية القابلة للصب):****طريقة تهيئة وصنع الدعامة:**

بعدأخذ الطبعة باستخدام الناقل وبديل الزرعة المخبرى، تم حقن القناع اللثوي بشكل يماثل وضع اللثة داخل الفم، ثم صب الطبعة باستخدام المسحوق الجبى ذو الرابطة الفوسفاتية، ثم قمنا بوضع الدعامة القابلة للصب فوق بديل الزرعة المخبرية للتأكد من تموير الزرعة والدعامة وعلاقتها مع باقى الأسنان، وإجراء التعديلات اللازمة عليها لتأخذ شكل الفنتوس فى حال الحاجة إلى ذلك ثم قمنا بفك الدعامة البلاستيكية المشعة وتوريدها وصبعها باستخدام خليطة النيكيل كروم ومن ثم تشذيبها، لتصبح جاهز لصنع التعويض النهائي فوقها.



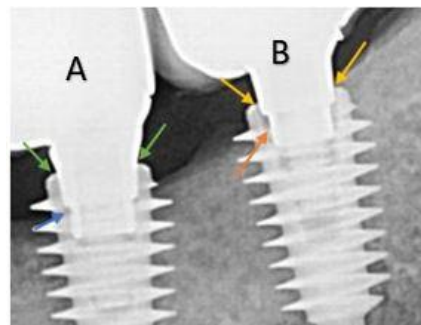
الشكل (٥)



الشكل (٤)

الداخلي للدعامات ضمن الزرعة التي تتوضع ضمن العظم هي طريقة موثقة ويمكن الاعتماد عليها كبديل عن المجهر الالكتروني. مع العلم أن نسبة الخطأ في التصوير الشعاعي وأخذ القياسات تتراوح بين 3.57% to 4.89% وذلك حسب (Lin CS,et al.2016)

تمأخذ صورة ذرية باستخدام الحساس الفموي الرقمي sensor (من شركة Vatech الكورية، الموجود في قسم التوعيضات) وذلك بواسطة حامل خاص بطريقة التوازي. وذلك للتأكد من الانطباق الداخلي للدعامة ضمن الزرعة والتأكد من وصول البرغي إلى كامل طوله ضمن الفراغ المخصص له ضمن الزرعة.



الشكل (٦) الفرق في دقة الانطباق الداخلي بين A: الدعامة المطبوعة والزرعة: B الدعامة المصبوبة والزرعة

تقييم الانطباق الداخلي الشعاعي:  
بعد تثبيت التعويض النهائي فوق الزرع تمأخذ صور شعاعية باستخدام الحساس الفموي Ezsensor Vatech, Hwaseong, Korea ( الشكل (٦) ) ، وقمع أشعة بطريقة التوازي وبمساعدة حوامل خاصة بذلك، ثم تم تقييم الانطباق الداخلي للسطح العلوي الخاص بالشكل السادس للدعامات ضمن الجزء الداخلي سادسي الشكل الخاص بها داخل الزرعة بمساعدة برنامج خاص بالحساس الفموي EasyDent V4© viewer software version 4.1.4.5 (Vatech, Hwaseong, Korea) ، حيث تم تحديد المسافة بين عنق الزرعة وعنق الدعامة من الداخل(GAP1) من الأسني والوحشي بالملم ، كما تم دراسة مقدار الفراغ الداخلي الأعظمي بين الدعامة والزرعة(GAP2) بالملم، وذلك بالاعتماد على دراسة سابقة قام بها ( Apicella D,et al.2010 ) حيث وجد أن التقييم الشعاعي للانطباق

**النتائج:**

**أولاً - وصف العينة:**

تمت دراسة تأثير نوع الدعامة المستخدمة والجانب المدروس في قيم كل من المتغيرات المقاسة والمحسوبة في عينة البحث وكانت نتائج التحليل كما يلي:

١- دراسة مقدار المسافة بين عنق الزرعة وعنق الدعامة من

الداخل (GAP1):

دراسة تأثير نوع الدعامة المستخدمة في قيم مقدار المسافة بين عنق الزرعة وعنق الدعامة من الداخل

(GAP1) وفقاً للجانب المدروس:

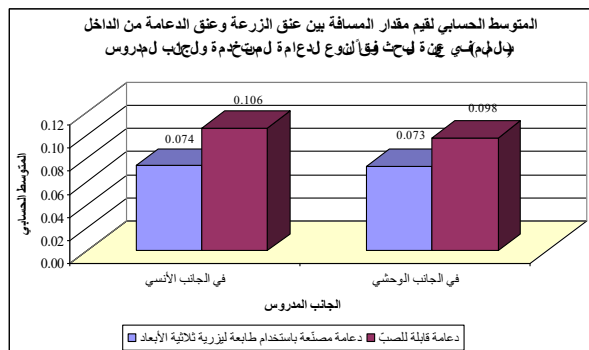
- تم إجراء اختبار T ستويونت للعينات المستقلة لدراسة دالة الفروق في متوسط قيم مقدار المسافة بين عنق الزرعة وعنق الدعامة من الداخل (بالملم) بين مجموعة الدعامات المصنعة باستخدام طابعة ليزرية ثلاثة الأبعاد ومجموعة الدعامات والزرعة (بالملم) لكل دعامة من الدعامات المدروسة في عينة البحث.

كما يلي:

- إحصاءات وصفية:

جدول رقم (١) يبيّن المتوسط الحسابي والخطأ المعياري والحد الأدنى والحد الأعلى لقيم مقدار المسافة بين عنق الزرعة وعنق الدعامة من الداخل (بالملم) في عينة البحث وفقاً لنوع الدعامة المستخدمة والجانب المدروس.

المتغير المدروس = مقدار المسافة بين عنق الزرعة وعنق الدعامة من الداخل (بالملم)								الجانب المدروس
الحد الأعلى	الحد الأدنى	الخطأ المعياري	الانحراف المعياري	المتوسط الحسابي	عدد الدعامات	نوع الدعامة المستخدمة		
0.1	0.05	0.004	0.016	0.074	16	دعامة مصنعة باستخدام طابعة ليزرية ثلاثة الأبعاد	في الجانب الأنسي	الأنسي
0.18	0.07	0.007	0.027	0.106	16	دعامة قابلة للصبار		
0.1	0.05	0.004	0.015	0.073	16	دعامة مصنعة باستخدام طابعة ليزرية ثلاثة الأبعاد	في الجانب الوحشي	الوحشي
0.13	0.08	0.004	0.017	0.098	16	دعامة قابلة للصبار		



مخطط رقم (١) يمثل المتوسط الحسابي لقيم مقدار المسافة بين عنق الزرعة وعنق الدعامة من الداخل (باللم) في عينة البحث وفقاً لنوع الدعامة المستخدمة والجانب المدروس.

- نتائج اختبار T ستيفيدونت للعينات المستقلة:

جدول رقم (٢) يبين نتائج اختبار T ستيفيدونت للعينات المستقلة لدراسة دلالة الفروق في المتوسط قيم مقدار المسافة بين عنق الزرعة وعنق الدعامة من الداخل (باللم) بين مجموعة الدعامات المصنوعة باستخدام طابعة ليزرية ثلاثة الأبعاد ومجموعة الدعامات القابلة للصب في عينة البحث، وذلك وفقاً للجانب المدروس.

المتغير المدروس = مقدار المسافة بين عنق الزرعة وعنق الدعامة من الداخل (باللم)			
الجانب المدروس	قيمة t المحسوبة	الفرق بين المتosteطن	دلالة الفروق
في الجانب الأنسي	-4.118	-0.033	توجد فروق دالة
في الجانب الوحشي	-4.446	-0.025	توجد فروق دالة

أصغر منها في مجموعة الدعامات القابلة للصب، وذلك مهما كان الجانب المدروس في عينة البحث.

٢- دراسة مقدار الفراغ الداخلي الأعظمي بين الدعامة والزرعة (GAP2):

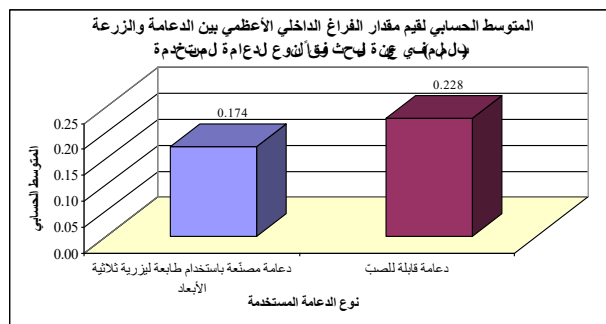
دراسة تأثير نوع الدعامة المستخدمة في قيم مقدار الفراغ الداخلي الأعظمي بين الدعامة والزرعة (GAP2):

- تم إجراء اختبار T ستيفيدونت للعينات المستقلة لدراسة دلالة الفروق في متوسط قيم مقدار الفراغ الداخلي الأعظمي بين الدعامة والزرعة (باللم) بين مجموعة الدعامات المصنوعة باستخدام طابعة ليزرية ثلاثة الأبعاد ومجموعة الدعامات القابلة للصب، مما يلي:

- إحصاءات وصفية:

جدول رقم (٣) بين المتوسط الحسابي والانحراف المعياري والحد الأدنى والحد الأعلى لقيم مقدار الفراغ الداخلي الأعظمي بين الدعامة والزرعة (بالملم) في عينة البحث وفقاً لنوع الدعامة المستخدمة.

المتغير المدروس = مقدار الفراغ الداخلي الأعظمي بين الدعامة والزرعة (بالملم)						
نوع الدعامة المستخدمة	عدد الدعامات	المتوسط الحسابي	الانحراف المعياري	الخطأ المعياري	الحد الأدنى	الحد الأعلى
دعامة مصنعة باستخدام طابعة لزيرية ثلاثة الأبعاد	16	0.174	0.018	0.004	0.14	0.2
دعامة قابلة للصب	16	0.228	0.028	0.007	0.19	0.3



مخطط رقم (٢) يمثل المتوسط الحسابي لقيم مقدار الفراغ الداخلي الأعظمي بين الدعامة والزرعة (بالملم) في عينة البحث وفقاً لنوع الدعامة المستخدمة.

- نتائج اختبار T ستيفوندلت للعينات المستقلة:

جدول رقم (٤) بين نتائج اختبار T ستيفوندلت للعينات المستقلة لدراسة دالة الفروق في توسط قيم مقدار الفراغ الداخلي الأعظمي بين الدعامة والزرعة (بالملم) بين مجموعة الدعامات المصنعة باستخدام طابعة لزيرية ثلاثة الأبعاد ومجموعة الدعامات القابلة للصب في عينة البحث.

المتغير المدروس = مقدار الفراغ الداخلي الأعظمي بين الدعامة والزرعة (بالملم)			
دالة الفروق	قيمة مستوى الدالة	قيمة t	الفرق بين المتوسطين
-0.054	-6.534	0.000	توجد فروق دالة

يبين الجدول أعلاه أن قيمة مستوى الدالة أصغر بكثير من المصنعة باستخدام طابعة لزيرية ثلاثة الأبعاد كانت أصغر القيمة ، أي أنه عند مستوى الثقة ٩٥٪ توجد فروق دالة منها في مجموعة الدعامات القابلة للصب في عينة البحث. إحصائياً في توسط مقدار الفراغ الداخلي الأعظمي بين الدعامة والزرعة (بالملم) بين مجموعة الدعامات المصنعة باستخدام طابعة لزيرية ثلاثة الأبعاد ومجموعة الدعامات القابلة للصب في عينة البحث، وبين المتوسطين سالبة نستنتج أن قيم مقدار الفراغ الداخلي الأعظمي بين الدعامة والزرعة (بالملم) في مجموعة الدعامات

**المناقشة:**

اعتماداً على النتائج السابقة وجدنا أنَّ القيم في مقدار المسافة بين عنق الزرعة وعنق الدعامة من الداخل (GAP1)، وقيم مقدار الفراغ الداخلي الأعظمي بين الدعامة والزرعة (GAP2)، كانت أخفض في الدعامات المطبوعة منها في الدعامات المصبوبة وبالتالي كانت الدعامات المطبوعة باستخدام الطابعة الليزرية ثلاثة الأبعاد تتمتع بانطباق داخلي أفضل وأكثر حكاماً من الدعامات المصبوبة المصنعة باستخدام الصب بالشمع الضائع، وقد يعود ذلك إلى طريقة التصنيع، حيث أنَّ طريقة صنع الدعامة المصبوبة كما تم ذكره في المقدمة تقوم على وضع الدعامة البلاستيكية فوق بديل الزرعة المخبرية وإجراء التعديلات اللازمة عليها لتأخذ شكل القنسوة ثم تم توتيد وصب الدعامة ثم تثبيتها، وبالتالي فإنَّ الأخطاء التي تحدث خلال مراحل التشكيم والصب والتشذيب من تغيير للأبعاد وتعدد المعدن عند تعرضه للحرارة بالإضافة إلى المشاكل التي قد تحدث خلال مرحلة الصب في منطقة الققاء القسم البلاستيكي للدعامة مع القسم المصنوع من التيتانيوم أثناء عملية ذوبان الشمع وتحوله إلى معدن وبالتالي فإنَّ الارتباط سوف يكون عن طريق اللحام وهذا يشكل نقطة ضعف قد تؤدي إلى انكسار الدعامة تحت الضغوط الاطباقية الكبيرة.

(Castillo-Oyagüe R. et al, 2013)

بينما طريقة صنع الدعامة المطبوعة باستخدام الطابعة الليزرية ثلاثة الأبعاد كما تم ذكره في المقدمة يتم من خلال و (body) (Marker) المناسب لنوع الزرعة على بديل الزرعة المخبرية ثم تم إجراء مسح رقمي لـ scan body ثم تم تصميم الدعامة باستخدام برنامج الـ EXO-CAD ، ثم طباعة الدعامة باستخدام الطابعة الليزرية ثلاثة الأبعاد وبالتالي فإنَّ التغيير بالأبعاد كان في الحدود الدنيا حيث أنَّ نسبة الخطأ في الماسح

**التمويل:** هذا البحث ممول من جامعة دمشق وفق رقم التمويل (501100020595).

عليه تعليق [L1]:

الرقمي تبعاً لنوع الماسح الرقمي المستخدم ٥ ميكرون، كما أنَّ نسبة الخطأ في طباعة الدعامة حوالي ال ٢٠ ميكرون، بينما الخطأ في الانطباق الداخلي للدعامة ضمن الزرعة يكون ناجم عن التلبيع والتشذيب وبنسبة واحدة بالنسبة لكلا نوعي الدعامات. (الأرقام تم أخذها من دليل التصنيع بالنسبة للأجهزة المستخدمة)

انتفقا مع دراسة تم اجراءها من قبل (Wei-Ting. et al 2021)

حيث وجدوا أنَّ التعويضات المصنعة باستخدام الطابعة الليزرية حققت انطباقاً أفضل وختم للحواف من التعويضات المصنعة باستخدام طريقة الشمع الضائع.

كما انتفقا مع دراسة أجراها (Klaus Ludwig 2020) حيث وجدوا أنَّ الدعامات المصنعة باستخدام الطابعة الليزرية كانت أفضل من الدعامات المصنوعة باستخدام تقنية الشمع الضائع.

بينما اختلفنا مع دراسة قام بها Ramalho I, et al ٢٠٢٠ حيث وجدوا أنَّ الانطباق الداخلي للدعامات المصبوبة أفضل من الانطباق الداخلي للدعامات المصنعة باستخدام الحاسوب. كما اختلفنا مع دراسة من قبل (Hyunwoo Lee et al 2020) حيث خص إلى أنَّ طريقة التصنيع باستخدام الطابعة الليزرية ثلاثة الأبعاد تتمتع بعدم ملائمة داخلية للتعويضات المصنعة مقارنة بطريقة التصنيع باستخدام الشمع الضائع.

**الاستنتاجات:**

ضمن محدودات هذا البحث وجدنا أنَّ صنع الدعامات باستخدام الطابعة الليزرية ثلاثة الأبعاد هي طريقة موثقة وممكن الاعتماد عليها كحل بديل عن طريقة الصب التقليدية حيث أنَّ الدعامات المطبوعة كانت ذات أداء سريري أفضل من الدعامات المصبوبة باستخدام طريقة الصب بالشمع الضائع كما تمنتت بانطباق داخلي أفضل وأكثر حكاماً ضمن الزرعة.

**References:**

1. Misch C. Rationale for dental implants. In: Contemporary implant dentistry. Third edition, Canada, mosby, Inc.2008;(ch1):pp 3-25.(ch40):pp 1017.1018.
2. Elnayef B, Monje A, Gargallo-Albiol J, Galindo-Moreno P, Wang HL, Hernández-Alfaro F. Vertical Ridge Augmentation in the Atrophic Mandible: A Systematic Review and Meta-Analysis. *Int J Oral Maxillofac Implants*. 2017 Mar/Apr;32(2):291-312. doi: 10.11607/jomi.4861.
3. Monje A, Chan HL, Galindo-Moreno P, Elnayef B, Suarez-Lopez del Amo F, Wang F, Wang HL. *J Periodontol. Alveolar Bone Architecture: A Systematic Review and Meta-Analysis.* 2015 Nov;86(11):1231-48. DOI: 10.1902/jop.2015.150263. Epub 2015 Jul 16.
4. Suárez-López Del Amo F, Lin GH, Monje A, Galindo-Moreno P, Wang HL. Influence of Soft Tissue Thickness on Peri-Implant Marginal Bone Loss: A Systematic Review and Meta-Analysis. *J Periodontol.* 2016 Jun;87(6):690-9. DOI: 10.1902/jop.2016.150571. Epub 2016 Jan 16.
5. Padial-Molina M, Suarez F, Rios HF, Galindo-Moreno P, Wang HL. Guidelines for the diagnosis and treatment of peri-implant diseases. *Int J Periodontics Restorative Dent.* 2014 Nov-Dec;34(6):e102-11. DOI: 10.11607/prd.1994
6. Quirynen, M., *et al.*, Implant therapy: 40 years of experience. *Periodontology 2000*, 2014. 66(1): p. 7-12.
7. Welander, M., I. Abrahamsson, and T. Berglundh, The mucosal barrier at implant abutments of different materials. *Clinical oral implants research*, 2008. 19(7): p. 635- 641.
8. Bondan JL, Oshima HM, Segundo RM, Shinkai RS, Mota EG, Meyer KR. Marginal fit analysis of premachined and castable UCLA abutments. *Acta Odontol Latinoam.* 2009;22(2):139-42. PMID: 19839491.
9. Binon PP. The effect of implant/abutment hexagonal misfit on screw joint stability. *Int J Prosthodont.* 1996 Mar-Apr;9(2):149-60. PMID: 8639238.
10. Lewis SG. An Esthetic Titanium Abutment: report of technique. *Int J Oral Maxillofac Implants* 1991;6:195-201
11. Llamas D, Lewis SG, Avera S. The UCLA abutment: a four-year review. *J Prosthet Dent* 1992;67:509-515
12. Ucar Y, Akova T, Akyil MS, Brantley WA. Internal fit evaluation of crowns prepared using a new dental crown fabrication technique: laser-sintered Co-Cr crowns. *J Prosthet Dent.* 2009; 102: 253- 259. pmid:19782828.
13. Quante K, Ludwig K, Kern M. Marginal and internal fit of metal-ceramic crowns fabricated with a new laser melting technology. *Dent Mater.* 2008; 24: 1311-1315. pmid:18384869.
14. Wang, S. Xu, S. Zhou, *et al.*, "Topological design and additive manufacturing of porous metals for bone scaffolds and orthopedic implants: a review," *Biomaterials*, vol. 83, no. 6, pp. 127-141, 2016.
15. Nouh, H., *Digital Implant Prosthodontics*, in *Digital Restorative Dentistry*. 2019, Springer. p. 207-227.
16. Priest G. Virtual-designed and computer-milled implant abutments. *J Oral Maxillofac Surg.* 2005 Sep;63(9 Suppl 2):22-32. doi: 10.1016/j.joms.2005.05.158. PMID: 16125013.
17. Dawood ,A., B.M. Marti, and S. Tanner, Peri-implantitis and the prosthodontist. *British dental journal*, 2017. 223(5): p. 325.
18. van Noort R. The future of dental devices is digital. *Dent Mater.* 2012 Jan;28(1):3-12. doi: 10.1016/j.dental.2011.10.014. Epub 2011 Nov 26. PMID: 22119539.
19. Svanborg, P.; Hjalmarsson, L. A systematic review on the accuracy of manufacturing techniques for cobalt chromium fixed dental prostheses. *Biomater. Investigig. Dent.* 2020, 7, 31-40.
20. Schepke, U., *et al.*, Stock Versus CAD/CAM Customized Zirconia Implant Abutments- Clinical and Patient-Based Outcomes in a Randomized Controlled Clinical Trial. *Clinical implant dentistry and related research*, 2017. 19(1): p. 74-84.

- 21.. Apicella D, Veltri M, Chieffi N, Polimeni A, Giovannetti A, Ferrari M. Implant adaptation of stock abutments versus CAD/CAM abutments: a radiographic and Scanning Electron Microscopy study. *Ann Stomatol (Roma)*. 2010 Jul;1(3-4):9-13. Epub 2011 Feb 13. PMID: 22238709; PMCID: PMC3254378.
- 22.Lin CS, Chan PC, Huang KH, Lu CF, Chen YF, Chen YO. Guidelines for reducing image retakes of general digital radiography. *Adv Mech Eng*. 2016;8:1687814016644127.
- 23.Sailer, I., *et al*. A systematic review of the performance of ceramic and metal implant abutments supporting fixed implant reconstructions. *Clinical oral implants research*, 2009. 20: p. 4-31.
- 24.al-Turki LE, Chai J, Lautenschlager EP, Hutten MC. Changes in prosthetic screw stability because of misfit of implant-supported prostheses. *Int J Prosthodont*. 2002 Jan-Feb;15(1):38-42. PMID: 11887597.
- 25.Sumi T, Braian M, Shimada A, *et al*. Characteristics of implant-CAD/ CAM abutment connections of two different internal connection systems. *J Oral Rehabil*. 2012;39:391–398. 39.
- 26.Alqtaibi AY, Aboalrejal AN. Microgap and Micromotion at the Implant Abutment Interface Cause Marginal Bone Loss Around Dental Implant but More Evidence is Needed. *J Evid Based Dent Pract*. 2018 Jun;18(2):171-172. doi: 10.1016/j.jebdp.2018.03.009. Epub 2018 Apr 1. PMID: 29747801.
- 27.Mishra SK, Chowdhary R, Kumari S. Microleakage at the Different Implant Abutment Interface: A Systematic Review. *J Clin Diagn Res*. 2017 Jun;11(6):ZE10-ZE15. doi: 10.7860/JCDR/2017/28951.10054. Epub 2017 Jun 1. PMID: 28764310; PMCID: PMC5535497.
- 28.Liu Y, Wang J. Influences of microgap and micromotion of implant-abutment interface on marginal bone loss around implant neck. *Arch Oral Biol*. 2017 Nov;83:153-160. doi: 10.1016/j.anchoralbio.2017.07.022. Epub 2017 Jul 29. PMID: 28780384.
- 29.Castillo-Oyagüe R, Lynch CD, Turrión AS, López-Lozano JF, Torres-Lagares D, Suárez-García MJ, *et al*. Misfit and microleakage of implant-supported crown copings obtained by laser sintering and casting techniques, luted with glass-ionomer, resin cements and acrylic/urethane-based agents. *J Dent* 2013;41:90-6.
- 30.Chou WT, Chuang CC, Wang YB, Chiu HC. Comparison of the internal fit of metal crowns fabricated by traditional casting, computer numerical control milling, and three-dimensional printing. *PLoS One*. 2021 Sep 16;16(9):e0257158. doi: 10.1371/journal.pone.0257158. PMID: 34529710; PMCID: PMC8445422.
- 31.Quante K, Ludwig K, Kern M. Marginal and internal fit of metal-ceramic crowns fabricated with a new laser melting technology. *Dent Mater*. 2008 Oct;24(10):1311-5. doi: 10.1016/j.dental.2008.02.011. Epub 2008 Apr 1. PMID: 18384869.
- 32.Ramalho I, Witek L, Coelho PG, Bergamo E, Pegoraro LF, Bonfante EA. Influence of Abutment Fabrication Method on 3D Fit at the Implant-Abutment Connection. *Int J Prosthodont*. 2020 Nov/Dec;33(6):641-647. doi: 10.11607/ijp.6574. PMID: 33284906.
- 33.Bae S, Hong MH, Lee H, Lee CH, Hong M, Lee J, Lee DH. Reliability of Metal 3D Printing with Respect to the Marginal Fit of Fixed Dental Prostheses: A Systematic Review and Meta-Analysis. *Materials (Basel)*. 2020 Oct 26;13(21):4781. doi: 10.3390/ma13214781. PMID: 33114737; PMCID: PMC7663231.
٣٤. معروفي، عبد الكريم. زيناتي، مازن. دراسة مقارنة بين تقنية تكوبن العظم بالشد وتقنية فلح العظم في زيادة عرض الانطباع السنخي الضامن، بحث دكتوراه، كلية طب الأسنان جامعة دمشق ٢٠١٢.
٣٥. علاف ميرزا، الحوري نبيل، مراد محمد لوي. التعويضات السننية الثابتة (٣)، منشورات جامعة دمشق، كلية طب الأسنان. ٢٠١٥:٣١٩-٣٢٩.

